



calculatoratoz.com



unitsconverters.com

Foche Formule

Calcolatrici!

Esempi!

Conversioni!

Segnalibro calculatoratoz.com, unitsconverters.com

La più ampia copertura di calcolatrici e in crescita - **30.000+ calcolatrici!**

Calcola con un'unità diversa per ogni variabile - **Nella conversione di unità costruita!**

La più ampia raccolta di misure e unità - **250+ misurazioni!**

Sentiti libero di CONDIVIDERE questo documento con i tuoi amici!

[Si prega di lasciare il tuo feedback qui...](#)



Lista di 36 Foche Formule

Foche

Perdita attraverso le guarnizioni della boccola

1) Diametro esterno della guarnizione dato il fattore di forma

$$\text{fx } D_o = D_i + 4 \cdot t \cdot S_{pf}$$

[Apri Calcolatrice !\[\]\(de95854c7ee024cfadc48187bbb781b2_img.jpg\)](#)

$$\text{ex } 59.9904\text{mm} = 54\text{mm} + 4 \cdot 1.92\text{mm} \cdot 0.78$$

2) Diametro interno della guarnizione dato il fattore di forma

$$\text{fx } D_i = D_o - 4 \cdot t \cdot S_{pf}$$

[Apri Calcolatrice !\[\]\(6a9b39b98eb945faa14c645ec99e4eaa_img.jpg\)](#)

$$\text{ex } 54.0096\text{mm} = 60\text{mm} - 4 \cdot 1.92\text{mm} \cdot 0.78$$

3) Distribuzione della pressione radiale per il flusso laminare

$$\text{fx } p = P_i + \frac{3 \cdot \rho \cdot \omega^2}{20 \cdot [g]} \cdot (r^2 - r_1^2) - \frac{6 \cdot v}{\pi \cdot t^3} \cdot \ln\left(\frac{r}{R}\right)$$

[Apri Calcolatrice !\[\]\(f1c5da15572e3e09d343161be98f508d_img.jpg\)](#)

ex

$$0.091988\text{MPa} = .0000002\text{MPa} + \frac{3 \cdot 1100\text{kg/m}^3 \cdot (75\text{rad/s})^2}{20 \cdot [g]} \cdot ((25\text{mm})^2 - (14\text{mm})^2) - \frac{6 \cdot 7.25\text{St}}{\pi \cdot (1.92\text{mm})^3} \cdot \ln$$

4) Efficienza volumetrica del compressore alternativo

$$\text{fx } \eta_v = \frac{V_a}{V_p}$$

[Apri Calcolatrice !\[\]\(291e070cef6c4d5e78fefe4696ef53be_img.jpg\)](#)

$$\text{ex } 0.8 = \frac{164\text{m}^3}{205\text{m}^3}$$

5) Fattore di forma per guarnizione circolare o anulare

$$\text{fx } S_{pf} = \frac{D_o - D_i}{4 \cdot t}$$

[Apri Calcolatrice !\[\]\(066cb4a00c9d9f40edb6f87372ec6f08_img.jpg\)](#)

$$\text{ex } 0.78125 = \frac{60\text{mm} - 54\text{mm}}{4 \cdot 1.92\text{mm}}$$



6) Flusso dell'olio attraverso la guarnizione della boccola radiale piana a causa di una perdita in condizioni di flusso laminare ↻

$$fx \quad Q = \frac{2 \cdot \pi \cdot a \cdot \left(P_s - \frac{P_e}{10^6} \right)}{a - b} \cdot q$$

Apri Calcolatrice ↻

$$ex \quad 944.7506 \text{mm}^3/\text{s} = \frac{2 \cdot \pi \cdot 15 \text{mm} \cdot \left(16 - \frac{2.1 \text{MPa}}{10^6} \right)}{15 \text{mm} - 4.2 \text{mm}} \cdot 7.788521 \text{mm}^3/\text{s}$$

7) Flusso di olio attraverso la guarnizione della boccola assiale piana a causa di una perdita in condizioni di flusso laminare ↻

$$fx \quad Q = \frac{2 \cdot \pi \cdot a \cdot \left(P_s - \frac{P_e}{10^6} \right)}{l} \cdot q$$

Apri Calcolatrice ↻

$$ex \quad 266669.4 \text{mm}^3/\text{s} = \frac{2 \cdot \pi \cdot 15 \text{mm} \cdot \left(16 - \frac{2.1 \text{MPa}}{10^6} \right)}{0.038262 \text{mm}} \cdot 7.788521 \text{mm}^3/\text{s}$$

8) Perdita o consumo di potenza dovuti a perdita di fluido attraverso la guarnizione frontale ↻

$$fx \quad P_1 = \frac{\pi \cdot v \cdot w^2}{13200 \cdot t} \cdot (r_2^4 - r_1^4)$$

Apri Calcolatrice ↻

$$ex \quad 7.9 \cdot 10^{-16} \text{W} = \frac{\pi \cdot 7.25 \text{St} \cdot (8.5 \text{mm})^2}{13200 \cdot 1.92 \text{mm}} \cdot ((20 \text{mm})^4 - (14 \text{mm})^4)$$

9) Portata volumetrica in condizioni di flusso laminare per tenuta a boccola radiale per fluido comprimibile ↻

$$fx \quad q = \frac{c^3}{24 \cdot \mu} \cdot \frac{a - b}{a} \cdot \frac{P_s + P_e}{P_e}$$

Apri Calcolatrice ↻

$$ex \quad 2.803868 \text{mm}^3/\text{s} = \frac{(0.9 \text{mm})^3}{24 \cdot 7.8 \text{cP}} \cdot \frac{15 \text{mm} - 4.2 \text{mm}}{15 \text{mm}} \cdot \frac{16 + 2.1 \text{MPa}}{2.1 \text{MPa}}$$


10) Portata volumetrica in condizioni di flusso laminare per tenuta a boccola radiale per fluido incomprimibile ↻

$$fx \quad q = \frac{c^3}{12 \cdot \mu} \cdot \frac{a - b}{a \cdot \ln\left(\frac{a}{b}\right)}$$

Apri Calcolatrice ↻

$$ex \quad 4.405219 \text{mm}^3/\text{s} = \frac{(0.9 \text{mm})^3}{12 \cdot 7.8 \text{cP}} \cdot \frac{15 \text{mm} - 4.2 \text{mm}}{15 \text{mm} \cdot \ln\left(\frac{15 \text{mm}}{4.2 \text{mm}}\right)}$$



11) Portata volumetrica in condizioni di flusso laminare per tenuta boccola assiale per fluido comprimibile 

$$fx \quad q = \frac{c^3}{12 \cdot \mu} \cdot \frac{P_s + P_e}{P_e}$$

Apri Calcolatrice 


$$ex \quad 7.788521 \text{mm}^3/\text{s} = \frac{(0.9 \text{mm})^3}{12 \cdot 7.8 \text{cP}} \cdot \frac{16 + 2.1 \text{MPa}}{2.1 \text{MPa}}$$

12) Pressione idraulica interna data la perdita zero di fluido attraverso la tenuta frontale 

$$fx \quad P_2 = P_1 + \frac{3 \cdot \rho \cdot \omega^2}{20} \cdot (r_2^2 - r_1^2) \cdot 1000$$

Apri Calcolatrice 


$$ex \quad 0.189338 \text{MPa} = .0000002 \text{MPa} + \frac{3 \cdot 1100 \text{kg/m}^3 \cdot (75 \text{rad/s})^2}{20} \cdot ((20 \text{mm})^2 - (14 \text{mm})^2) \cdot 1000$$

13) Quantità di perdita di fluido attraverso la guarnizione facciale 

$$fx \quad Q = \frac{\pi \cdot t^3}{6 \cdot \nu \cdot \ln\left(\frac{r_2}{r_1}\right)} \cdot \left(\frac{3 \cdot \rho \cdot \omega^2}{20 \cdot [g]} \cdot (r_2^2 - r_1^2) - P_2 - P_1 \right)$$

Apri Calcolatrice 


$$ex \quad 259501.2 \text{mm}^3/\text{s} = \frac{\pi \cdot (1.92 \text{mm})^3}{6 \cdot 7.25 \text{St} \cdot \ln\left(\frac{20 \text{mm}}{14 \text{mm}}\right)} \cdot \left(\frac{3 \cdot 1100 \text{kg/m}^3 \cdot (75 \text{rad/s})^2}{20 \cdot [g]} \cdot ((20 \text{mm})^2 - (14 \text{mm})^2) - 1 \text{E}^{-6} \text{MPa} \right)$$

14) Raggio esterno dell'elemento rotante a causa di una perdita di potenza a causa della perdita di fluido attraverso la tenuta frontale 

$$fx \quad r_2 = \left(\frac{P_1}{\frac{\pi \cdot \nu \cdot \omega^2}{13200 \cdot t}} + r_1^4 \right)^{\frac{1}{4}}$$

Apri Calcolatrice 

$$ex \quad 20.00263 \text{mm} = \left(\frac{7.9 \text{E}^{-16} \text{W}}{\frac{\pi \cdot 7.25 \text{St} \cdot (8.5 \text{mm})^2}{13200 \cdot 1.92 \text{mm}}} + (14 \text{mm})^4 \right)^{\frac{1}{4}}$$

15) Spessore del fluido tra i membri a causa della perdita di potenza dovuta alla perdita di fluido attraverso la tenuta frontale 

$$fx \quad t = \frac{\pi \cdot \nu \cdot \omega^2}{13200 \cdot P_1} \cdot (r_2^4 - r_1^4)$$

Apri Calcolatrice 

$$ex \quad 1.918674 \text{mm} = \frac{\pi \cdot 7.25 \text{St} \cdot (8.5 \text{mm})^2}{13200 \cdot 7.9 \text{E}^{-16} \text{W}} \cdot ((20 \text{mm})^4 - (14 \text{mm})^4)$$




16) Spessore del fluido tra i membri dato il fattore di forma 

$$fx \quad t = \frac{D_o - D_i}{4 \cdot S_{pf}}$$

Apri Calcolatrice 



$$ex \quad 1.923077mm = \frac{60mm - 54mm}{4 \cdot 0.78}$$

17) Viscosità cinematica a causa della perdita di potenza dovuta alla perdita di fluido attraverso la guarnizione facciale 

$$fx \quad v = \frac{13200 \cdot P_1 \cdot t}{\pi \cdot w^2 \cdot (r_2^4 - r_1^4)}$$

Apri Calcolatrice 


$$ex \quad 7.255011St = \frac{13200 \cdot 7.9E^{-16}W \cdot 1.92mm}{\pi \cdot (8.5mm)^2 \cdot ((20mm)^4 - (14mm)^4)}$$

Sigilli senza imballaggio 18) Diametro del bullone data la perdita di fluido 

$$fx \quad d = \frac{12 \cdot l \cdot \mu \cdot Q_1}{\pi \cdot c^3 \cdot (p_1 - p_2)}$$

Apri Calcolatrice 


$$ex \quad 8.7E^{-6}mm = \frac{12 \cdot 0.038262mm \cdot 7.8cP \cdot 1.1E6mm^3/s}{\pi \cdot (0.9mm)^3 \cdot (200.8501MPa - 2.85MPa)}$$

19) Gioco radiale dato la perdita 

$$fx \quad c = \left(\frac{12 \cdot l \cdot \mu \cdot Q_1}{\pi \cdot d \cdot p_1 - p_2} \right)^{\frac{1}{3}}$$

Apri Calcolatrice 

$$ex \quad 0.009175mm = \left(\frac{12 \cdot 0.038262mm \cdot 7.8cP \cdot 1.1E6mm^3/s}{\pi \cdot 12.6mm \cdot 200.8501MPa - 2.85MPa} \right)^{\frac{1}{3}}$$

20) Perdita di fluido oltre l'asta 

$$fx \quad Q_1 = \frac{\pi \cdot c^3}{12} \cdot (p_1 - p_2) \cdot \frac{d}{l \cdot \mu}$$

Apri Calcolatrice 

$$ex \quad 1.6E^{-12}mm^3/s = \frac{\pi \cdot (0.9mm)^3}{12} \cdot (200.8501MPa - 2.85MPa) \cdot \frac{12.6mm}{0.038262mm \cdot 7.8cP}$$



21) Profondità del collare a U data la perdita Apri Calcolatrice 


$$fx \quad l = \frac{\pi \cdot c^3}{12} \cdot (P_1 - P_2) \cdot \frac{d}{\mu \cdot Q_1}$$

$$ex \quad 55493.85\text{mm} = \frac{\pi \cdot (0.9\text{mm})^3}{12} \cdot (200.8501\text{MPa} - 2.85\text{MPa}) \cdot \frac{12.6\text{mm}}{7.8\text{cP} \cdot 1.1\text{E}6\text{mm}^3/\text{s}}$$

Guarnizioni a taglio dritto 22) Area del sigillo a contatto con l'elemento scorrevole data la perdita Apri Calcolatrice 


$$fx \quad A = \frac{Q_o}{v}$$

$$ex \quad 0.000209\text{m}^2 = \frac{2.5\text{E}7\text{mm}^3/\text{s}}{119.6581\text{m}/\text{s}}$$

23) Densità del liquido data la perdita di carico del liquido Apri Calcolatrice 

$$fx \quad \rho_1 = \frac{64 \cdot \mu \cdot v}{2 \cdot [g] \cdot h_\mu \cdot d_1^2}$$

$$ex \quad 997\text{kg}/\text{m}^3 = \frac{64 \cdot 7.8\text{cP} \cdot 119.6581\text{m}/\text{s}}{2 \cdot [g] \cdot 2642.488\text{mm} \cdot (34\text{mm})^2}$$

24) Diametro esterno dell'anello di tenuta data la perdita di carico del liquido Apri Calcolatrice 

$$fx \quad d_1 = \sqrt{\frac{64 \cdot \mu \cdot v}{2 \cdot [g] \cdot \rho_1 \cdot h_\mu}}$$


$$ex \quad 34\text{mm} = \sqrt{\frac{64 \cdot 7.8\text{cP} \cdot 119.6581\text{m}/\text{s}}{2 \cdot [g] \cdot 997\text{kg}/\text{m}^3 \cdot 2642.488\text{mm}}}$$

25) Gioco radiale data la sollecitazione nell'anello di tenuta Apri Calcolatrice 

$$fx \quad c = \frac{\sigma_s \cdot h \cdot \left(\frac{d_1}{h} - 1\right)^2}{0.4815 \cdot E}$$

$$ex \quad 0.9\text{mm} = \frac{151.8242\text{MPa} \cdot 35\text{mm} \cdot \left(\frac{34\text{mm}}{35\text{mm}} - 1\right)^2}{0.4815 \cdot 10.01\text{MPa}}$$



26) Lunghezza incrementale nella direzione della velocità data la velocità di perdita [Apri Calcolatrice !\[\]\(feabb98897b440bc8695a03336a6e2df_img.jpg\)](#)

$$fx \quad d_1 = \frac{\Delta p \cdot r_s^2}{8 \cdot v \cdot \mu}$$

$$ex \quad 1.5\text{mm} = \frac{0.000112\text{MPa} \cdot (10\text{mm})^2}{8 \cdot 119.6581\text{m/s} \cdot 7.8\text{cP}}$$

27) Modifica della pressione data la velocità di dispersione [Apri Calcolatrice !\[\]\(642aa997563f9a325b310230bb5078b7_img.jpg\)](#)


$$fx \quad \Delta p = \frac{8 \cdot d_1 \cdot \mu \cdot v}{r_s^2}$$

$$ex \quad 0.000112\text{MPa} = \frac{8 \cdot 1.5\text{mm} \cdot 7.8\text{cP} \cdot 119.6581\text{m/s}}{(10\text{mm})^2}$$

28) Modulo di elasticità data la sollecitazione nell'anello di tenuta [Apri Calcolatrice !\[\]\(51514032c8ca341817228f39f1307b05_img.jpg\)](#)

$$fx \quad E = \frac{\sigma_s \cdot h \cdot \left(\frac{d_1}{h} - 1\right)^2}{0.4815 \cdot c}$$

$$ex \quad 10.01\text{MPa} = \frac{151.8242\text{MPa} \cdot 35\text{mm} \cdot \left(\frac{34\text{mm}}{35\text{mm}} - 1\right)^2}{0.4815 \cdot 0.9\text{mm}}$$

29) Perdita di carico liquido [Apri Calcolatrice !\[\]\(f219cfc00b8db0cd1a81ae1fc9afaf28_img.jpg\)](#)

$$fx \quad h_\mu = \frac{64 \cdot \mu \cdot v}{2 \cdot [g] \cdot \rho_l \cdot d_1^2}$$

$$ex \quad 2642.488\text{mm} = \frac{64 \cdot 7.8\text{cP} \cdot 119.6581\text{m/s}}{2 \cdot [g] \cdot 997\text{kg/m}^3 \cdot (34\text{mm})^2}$$

30) Quantità di perdite [Apri Calcolatrice !\[\]\(8aa05b4b06c05d58ddd90cdbf335b307_img.jpg\)](#)

$$fx \quad Q_o = v \cdot A$$

$$ex \quad 2.5E^7\text{mm}^3/\text{s} = 119.6581\text{m/s} \cdot 0.000208\text{m}^2$$

31) Raggio dato la velocità di dispersione [Apri Calcolatrice !\[\]\(488d36215f31304317ffb20d512ebb61_img.jpg\)](#)

$$fx \quad r_s = \sqrt{\frac{8 \cdot d_1 \cdot \mu \cdot v}{\Delta p}}$$


$$ex \quad 9.999999\text{mm} = \sqrt{\frac{8 \cdot 1.5\text{mm} \cdot 7.8\text{cP} \cdot 119.6581\text{m/s}}{0.000112\text{MPa}}}$$



32) Sollecitazione nell'anello di tenuta [Apri Calcolatrice !\[\]\(3d8c13c92b853674f749aac6fa869926_img.jpg\)](#)


$$fx \quad \sigma_s = \frac{0.4815 \cdot c \cdot E}{h \cdot \left(\frac{d_1}{h} - 1\right)^2}$$

$$ex \quad 151.8242\text{MPa} = \frac{0.4815 \cdot 0.9\text{mm} \cdot 10.01\text{MPa}}{35\text{mm} \cdot \left(\frac{34\text{mm}}{35\text{mm}} - 1\right)^2}$$

33) Velocità data Perdita [Apri Calcolatrice !\[\]\(17acf1afa8cdf0b67c53d4865a5ed469_img.jpg\)](#)


$$fx \quad v = \frac{Q_o}{A}$$

$$ex \quad 120.1923\text{m/s} = \frac{2.5\text{E}7\text{mm}^3/\text{s}}{0.000208\text{m}^2}$$

34) Velocità di perdita [Apri Calcolatrice !\[\]\(d8ab143e904bfa3467271eec5af75a9b_img.jpg\)](#)

$$fx \quad v = \frac{\Delta p \cdot r_s^2}{8 \cdot d_1 \cdot \mu}$$

$$ex \quad 119.6581\text{m/s} = \frac{0.000112\text{MPa} \cdot (10\text{mm})^2}{8 \cdot 1.5\text{mm} \cdot 7.8\text{cP}}$$

35) Viscosità assoluta data la perdita di carico del liquido [Apri Calcolatrice !\[\]\(2b17f17ebbacc911bb0ff784ab641779_img.jpg\)](#)

$$fx \quad \mu = \frac{2 \cdot [g] \cdot \rho_1 \cdot h_\mu \cdot d_1^2}{64 \cdot v}$$

$$ex \quad 7.8\text{cP} = \frac{2 \cdot [g] \cdot 997\text{kg}/\text{m}^3 \cdot 2642.488\text{mm} \cdot (34\text{mm})^2}{64 \cdot 119.6581\text{m/s}}$$

36) Viscosità assoluta data la velocità di dispersione [Apri Calcolatrice !\[\]\(9a795c4c0c43d0827b424565265fc8e6_img.jpg\)](#)

$$fx \quad \mu = \frac{\Delta p \cdot r_s^2}{8 \cdot d_1 \cdot v}$$

$$ex \quad 7.800001\text{cP} = \frac{0.000112\text{MPa} \cdot (10\text{mm})^2}{8 \cdot 1.5\text{mm} \cdot 119.6581\text{m/s}}$$



Variabili utilizzate












- **a** Raggio esterno della guarnizione della boccola semplice (Millimetro)
- **A** La zona (Metro quadrato)
- **b** Raggio interno della guarnizione della boccola piana (Millimetro)
- **c** Gioco radiale per le guarnizioni (Millimetro)
- **d** Diametro del bullone di tenuta (Millimetro)
- **d₁** Diametro esterno dell'anello di tenuta (Millimetro)
- **D_i** Diametro interno della guarnizione di tenuta (Millimetro)
- **d_l** Lunghezza incrementale in direzione della velocità (Millimetro)
- **D_o** Diametro esterno della guarnizione di tenuta (Millimetro)
- **E** Modulo di elasticità (Megapascal)
- **h** Spessore della parete dell'anello radiale (Millimetro)
- **h_μ** Perdita di battente liquido (Millimetro)
- **l** Profondità del collare a U (Millimetro)
- **p** Pressione in posizione radiale per la tenuta della boccola (Megapascal)
- **p₁** Pressione del fluido 1 per la guarnizione (Megapascal)
- **p₂** Pressione del fluido 2 per la guarnizione (Megapascal)
- **P₂** Pressione idraulica interna (Megapascal)
- **P_e** Uscita dalla pressione (Megapascal)
- **P_i** Pressione nel raggio interno della tenuta (Megapascal)
- **P_l** Perdita di potenza per la tenuta (Watt)
- **P_s** Compressione percentuale minima
- **q** Portata volumetrica per unità di pressione (Millimetro cubo al secondo)
- **Q** Flusso dell'olio dalla guarnizione della boccola (Millimetro cubo al secondo)
- **Q_l** Perdita di fluido dalle guarnizioni senza baderna (Millimetro cubo al secondo)
- **Q_o** Scarico attraverso l'orifizio (Millimetro cubo al secondo)
- **r** Posizione radiale nella tenuta della boccola (Millimetro)
- **R** Raggio dell'elemento rotante all'interno della guarnizione della boccola (Millimetro)
- **r₁** Raggio interno dell'elemento rotante all'interno della guarnizione della boccola (Millimetro)
- **r₂** Raggio esterno dell'elemento rotante all'interno della guarnizione della boccola (Millimetro)
- **r_s** Raggio di tenuta (Millimetro)
- **S_{pf}** Fattore di forma per guarnizione circolare
- **t** Spessore del fluido tra i membri (Millimetro)
- **v** Velocità (Metro al secondo)
- **V_a** Volume effettivo (Metro cubo)



- V_p Volume spazzato dal pistone (*Metro cubo*)
- w Sezione trasversale nominale della guarnizione della boccola (*Millimetro*)
- Δp Cambiamento di pressione (*Megapascal*)
- η_v Efficienza volumetrica
- μ Viscosità assoluta dell'olio nelle guarnizioni (*Centoise*)
- ν Viscosità cinematica del fluido di tenuta della boccola (*Stokes*)
- ρ Densità del fluido di tenuta (*Chilogrammo per metro cubo*)
- ρ_l Densità del liquido (*Chilogrammo per metro cubo*)
- σ_s Sollecitazione nell'anello di tenuta (*Megapascal*)
- ω Velocità di rotazione della tenuta interna dell'albero (*Radiante al secondo*)



Costanti, Funzioni, Misure utilizzate

- **Costante:** **[g]**, 9.80665
Accelerazione gravitazionale sulla Terra
- **Costante:** **pi**, 3.14159265358979323846264338327950288
Costante di Archimede
- **Funzione:** **ln**, ln(Number)
Il logaritmo naturale, detto anche logaritmo in base e, è la funzione inversa della funzione esponenziale naturale.
- **Funzione:** **sqrt**, sqrt(Number)
Una funzione radice quadrata è una funzione che accetta un numero non negativo come input e restituisce la radice quadrata del numero di input specificato.
- **Misurazione:** **Lunghezza** in Millimetro (mm)
Lunghezza Conversione unità 
- **Misurazione:** **Volume** in Metro cubo (m³)
Volume Conversione unità 
- **Misurazione:** **La zona** in Metro quadrato (m²)
La zona Conversione unità 
- **Misurazione:** **Pressione** in Megapascal (MPa)
Pressione Conversione unità 
- **Misurazione:** **Velocità** in Metro al secondo (m/s)
Velocità Conversione unità 
- **Misurazione:** **Potenza** in Watt (W)
Potenza Conversione unità 
- **Misurazione:** **Portata volumetrica** in Millimetro cubo al secondo (mm³/s)
Portata volumetrica Conversione unità 
- **Misurazione:** **Viscosità dinamica** in Centoise (cP)
Viscosità dinamica Conversione unità 
- **Misurazione:** **Viscosità cinematica** in Stokes (St)
Viscosità cinematica Conversione unità 
- **Misurazione:** **Velocità angolare** in Radiante al secondo (rad/s)
Velocità angolare Conversione unità 
- **Misurazione:** **Densità** in Chilogrammo per metro cubo (kg/m³)
Densità Conversione unità 



Controlla altri elenchi di formule

- [Progettazione del giunto a coppiglia Formule](#) 
- [Progettazione dell'articolazione dell'articolazione Formule](#) 
- [Progettazione di accoppiamenti a flangia rigida Formule](#) 
- [Imballaggio Formule](#) 
- [Anelli di sicurezza e anelli elastici Formule](#) 
- [Giunti rivettati Formule](#) 
- [Foche Formule](#) 
- [Giunti bullonati filettati Formule](#) 

Sentiti libero di **CONDIVIDERE** questo documento con i tuoi amici!

PDF Disponibile in

[English](#) [Spanish](#) [French](#) [German](#) [Russian](#) [Italian](#) [Portuguese](#) [Polish](#) [Dutch](#)

10/18/2024 | 7:52:36 AM UTC

[Si prega di lasciare il tuo feedback qui...](#)

